

УДК 535.34:539.19

Изменение сдвига центра линии поглощения H_2O 694,380 нм в зависимости от давления водорода

Б.А. Тихомиров*

Институт оптики атмосферы им. В.Е. Зуева СО РАН
634021, г. Томск, пл. Академика Зуева, 1

Поступила в редакцию 15.05.2014 г.

В настоящем эксперименте в отличие от данных, содержащихся в литературе, получена классическая линейная зависимость сдвига центра линии поглощения H_2O 694,380 нм от давления водорода.

Ключевые слова: уширение и сдвиг линий поглощения, водяной пар, оптико-акустический лазерный спектрометр; broadening and shift of absorption line, water vapor, photoacoustic laser spectrometer.

Экспериментальные данные об уширении и сдвиге линий поглощения молекулярных газов давлением буферных (уширяющих) газов представляют большой интерес, так как, во-первых, они необходимы при обработке результатов измерений концентрации газовых составляющих в атмосфере дистанционными методами зондирования и оценках ослабления узкополосного излучения на вертикальных и наклонных трассах [1, 2]. Во-вторых, уширение и сдвиг линий поглощения давлением буферных газов содержат в себе информацию о потенциале межмолекулярного взаимодействия [3].

В стандартном теоретическом представлении столкновительная ширина и сдвиг линий поглощения увеличиваются прямо пропорционально давлению буферных газов [4], что и было зарегистрировано в многочисленных экспериментах (см., например, [5–8]). В то же время в некоторых экспериментах наблюдаются отклонения от линейной зависимости. Так, в [9] сообщается о нелинейной зависимости сдвига двух линий поглощения H_2O в полосе $v_1 + 3v_3$ от давления водорода. Эксперименты по исследованию уширения и сдвига линий поглощения H_2O от давления гелия и водорода в других спектральных участках [10] и для других водород-содержащих молекул (H_2S) [11, 12] показали линейный ход зависимостей. В связи с этим цель настоящей работы заключается в повторении эксперимента [9] на предмет проверки достоверности его результатов.

Измерения проводились для «изолированной» линии поглощения H_2O 694,380 нм (переход $4_3 - 5_4$ в полосе $v_1 + 3v_3$), для которой нелинейность сдвига давлением водорода в работе [9] выражена наиболее сильно.

Методика измерений аналогична методике первой регистрации сдвига линии поглощения H_2O

694,380 нм в зависимости от давления воздуха [13] и методике последующих экспериментов [9], т.е. в измерениях использовался оптико-акустический (ОА) спектрометр с двумя ОА-детекторами с разным составом газов в поглащающих ячейках. В нерезонансной ОА-ячейке малого объема ($V \approx 25$ мл) находился чистый водяной пар при давлении $P_{\text{H}_2\text{O}} = 10$ мбар, в ячейке с временным разрешением ОА-сигналов [14] ($V \approx 7$ л) – такое же количество водяного пара с добавлением водорода. Изменение длины волны излучения рубинового лазера от импульса к импульсу измерялось с помощью интерферометра Фабри–Перо с базой 30 мм и ПЗС-линейки по смещению пиков интерференционных колец с точностью не хуже 10^{-4} нм.

Образец одновременной записи контуров линии поглощения H_2O при самоуширении ($P_{\text{H}_2\text{O}} = 10$ мбар) и уширении водородом ($P_{\text{H}_2\text{O}} = 10$ мбар, $P_{\text{H}_2} = 990$ мбар) представлен на рис. 1.

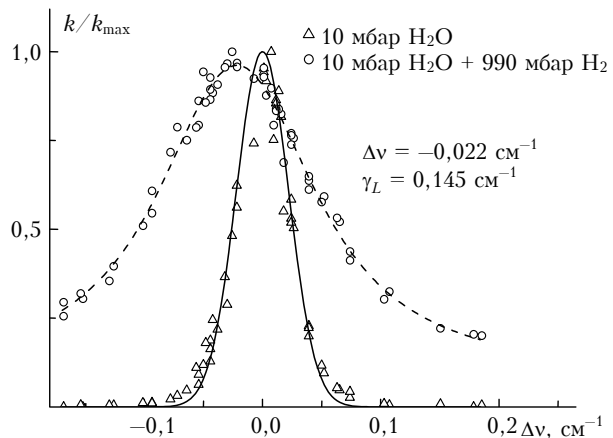


Рис. 1. Контуры линии поглощения H_2O 694,380 нм при самоуширении (треугольники) и уширении водородом (кружочки)

* Борис Александрович Тихомиров (bat@iao.ru).

По шкале X на рис. 1 отложено изменение волнового числа лазерного излучения v относительно положения центра линии поглощения H_2O при самоуширении v_0 , связанного с длиной волны λ в вакууме известным соотношением: $v [\text{см}^{-1}] = 10000 \lambda^{-1}$ [мкм]. Данные эксперимента (представлены кружками и треугольниками) на рис. 1 нормированы на максимум. Аналогичные измерения были выполнены для других смесей H_2O с H_2 в области изменения давления водорода $P_{H_2} = 0'990$ мбар с шагом ~ 200 мбар.

Обработка экспериментальных данных для водяного пара осуществлялась с использованием гауссова контура линии поглощения (сплошная линия на рис. 1) и контура Фойгта для смесей водяного пара с водородом (штриховая линия). Восстановленные параметры подгонки сведены в таблицу, где γ_L — столкновительная ширина (FWHM) линии поглощения; Δv_0 — сдвиг центра линии давлением водорода. При подгонке экспериментальных данных к контуру Фойгта ширина линии водяного пара при самоуширении γ_G бралась фиксированной и с учетом аппаратной функции ОА-спектрометра, т.е. $\gamma_G^2 = \gamma_D^2 + \Delta v^2$, где $\gamma_D = 0,042 \text{ см}^{-1}$ — расчетная ширина (FWHM) линии, уширенной из-за эффекта Доплера, $\Delta v \approx 0,02 \text{ см}^{-1}$ — ширина спектра лазерного излучения.

Из таблицы видно, что параметр γ_L при уширении водородом восстанавливается с относитель-

ной погрешностью 3–10%, ошибка измерения сдвига центра линии не превышает 10^{-3} см^{-1} .

Зависимости $\gamma_L(P_{H_2})$ и $\Delta v_0(P_{H_2})$ представлены на рис. 2. Видно, что экспериментальные данные хорошо аппроксимируются линейными зависимостями с коэффициентами наклона $\Gamma_{br} = (0,142 \pm 0,005) \text{ см}^{-1}/\text{бар}$ и $\Gamma_{sh} = (-0,022 \pm 0,001) \text{ см}^{-1}/\text{бар}$. Полученное в настоящей работе значение коэффициента столкновительного уширения Γ_{br} на 23% больше значения коэффициента уширения, представленного в [9], и соответствует выводу из работ [12, 15] о пропорциональности коэффициента столкновительного уширения линий поглощения величине квадрупольного момента молекул уширяющего газа.

Таким образом, на 2-канальном ОА-спектрометре с перестраиваемым по частоте лазером на рубине выполнены измерения столкновительной ширины и сдвига центра линии поглощения H_2O 694,380 нм в зависимости от давления водорода. В отличие от работы [9] при изменении давления уширяющего газа H_2 в области от 0 до 990 мбар наблюдается линейное увеличение не только столкновительной ширины, но и сдвига центра линии поглощения. Получены численные данные о коэффициентах столкновительного уширения и сдвига линии: $\Gamma_{br} = (0,142 \pm 0,005) \text{ см}^{-1}/\text{бар}$ и $\Gamma_{sh} = (-0,022 \pm 0,001) \text{ см}^{-1}/\text{бар}$.

Эксперимент выполнен по плану работ ИОА СО РАН на 2014 г. — пункт II.10.3.7. Программы ФНИ государственных академий наук.

Параметр подгонки	Давление водорода, мбар					
	0	192	391	590	790	990
$\gamma_L, \text{ см}^{-1}$	0,005*(2)	0,027(3)	0,053(5)	0,082(3)	0,105(3)	0,145(8)
$\Delta v_0, \text{ см}^{-1}$	0(0,001)	-0,004(1)	-0,009(1)	-0,014(1)	-0,018(1)	-0,022(1)

* — значение столкновительной ширины линии при самоуширении.

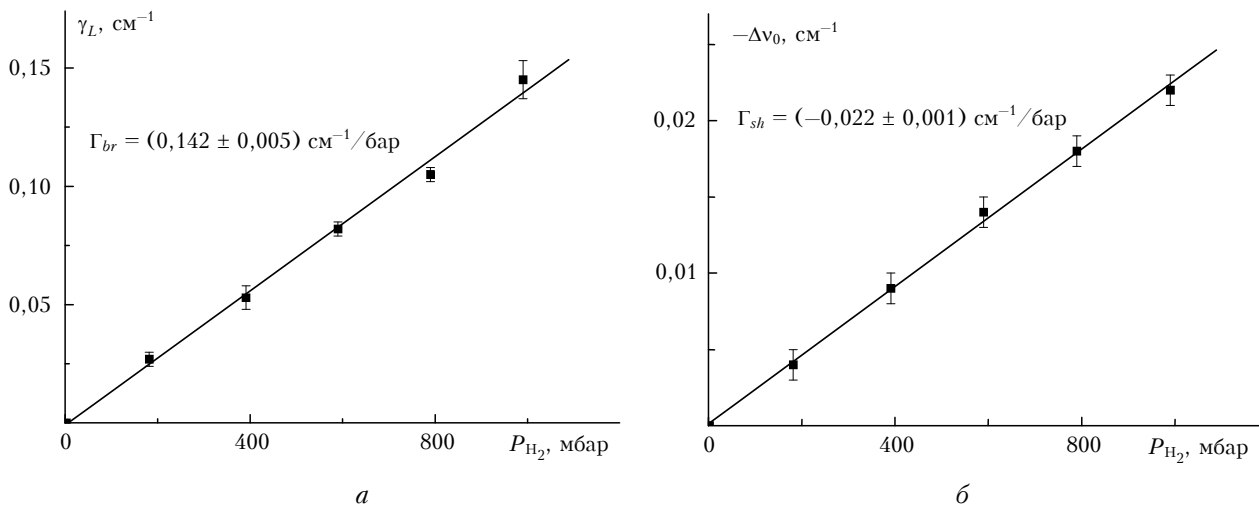


Рис. 2. Столкновительная ширина γ_L (а) и сдвиг центра Δv_0 (б) линии H_2O 694,380 нм в зависимости от давления буферного газа H_2

1. Zuev V.V., Ponomarev Yu.N., Solodov A.M., Tikhomirov B.A., Romanovskii O.A. The influence of the H₂O absorption line center shift by the air pressure on the profile restitution accuracy of the atmosphere humidity using the differential method // Opt. Lett. 1985. V. 10, N 7. P. 318–320.
2. Зуев В.В., Пономарев Ю.Н., Солодов А.М., Тихомиров Б.А., Парфенова Т.В., Романовский О.А. Об учете сдвига центра линий поглощения давлением воздуха при решении задач оптики атмосферы // Ж. прикл. спектроскопии. 1986. Т. 45, № 1. С. 52–56.
3. Быков А.Д., Синица Л.Н., Стариков В.И. Экспериментальные и теоретические методы в спектроскопии молекул водяного пара. Новосибирск: СО РАН, 1999. 376 с.
4. Чен Ш., Такео М. Уширение и сдвиг спектральных линий, создаваемые посторонними газами // Успехи физ. наук. 1958. Т. 66, № 3. С. 391–474.
5. Belov S.P., Krupnov A.F., Markov V.N., Mel'nikov A.A., Skvortsov V.A., Tret'yakov M.Yu. Study of microwave pressure lineshifts: dynamic and isotopic dependences // J. Mol. Spectrosc. 1983. V. 101, N 2. P. 258–270.
6. Быков А.Д., Макушкин Ю.С., Коротченко Е.А., Лазарев В.В., Пономарев Ю.Н., Синица Л.Н., Солодов А.М., Стройнова В.Н., Тихомиров Б.А. Исследование сдвигов центров линий поглощения водяного пара давлением воздуха // Оптика атмосф. 1988. Т. 1, № 1. С. 40–45.
7. Fiegel R.P., Hays P.B., Wright W.M. Photoacoustic technique for the measurement of absorption line profiles // Appl. Opt. 1989. V. 28, N 7. P. 1401–1408.
8. Nadezhdin A.I. Diode laser spectroscopy: precise spectral line shape measurements // Spectrochim. Acta. Part A. 1996. V. 52, N 8. P. 1041–1060.
9. Lazarev V.V., Ponomarev Yu.N. Measurements of the hydrogen-induced and self-pressure-induced shift of H₂O absorption lines near 0.7 μm // Opt. Lett. 1992. V. 17, N 18. P. 1283–1285.
10. Зенинари В., Парвут Б., Куртуа Д., Пуче И., Дури Г., Пономарев Ю.Н. Коэффициенты уширения и сдвига линий поглощения H₂O в районе 1,39 мкм, индуцированные давлением гелия и водорода // Оптика атмосф. и океана. 2003. Т. 16, № 3. С. 212–216.
11. Kissel A., Sumpf B., Kronfeldt H.-D., Tikhomirov B.A., Ponomarev Yu.N. Noble gas induced line-shift and line-broadening in the v₂ band of H₂S // J. Mol. Struct. 2000. V. 517–518. P. 477–492.
12. Kissel A., Sumpf B., Kronfeldt H.-D., Tikhomirov B.A., Ponomarev Yu.N. Molecular gas pressure induced line-shift and line-broadening in the v₂-band of H₂S // J. Mol. Spectrosc. 2002. V. 216, N 2. P. 345–354.
13. Пономарев Ю.Н., Тихомиров Б.А. Измерение сдвига центра линии поглощения H₂O давлением на двухканальном оптико-акустическом спектрометре // Оптика и спектроскопия. 1985. Т. 58, № 4. С. 947–948.
14. Козлов В.С., Панченко М.В., Тихомиров А.Б., Тихомиров Б.А. Измерение аэрозольного поглощения излучения с длиной волны 694,300 нм в приземном слое воздуха // Оптика атмосф. и океана. 2002. Т. 15, № 9. С. 756–761.
15. Лопасов В.П., Лукьяненко С.Ф., Пономарев Ю.Н., Тихомиров Б.А. Измерение коэффициентов уширения линии поглощения H₂O 694 нм N₂, CO₂, Ar и воздухом // Ж. прикл. спектроскопии. 1980. Т. 33, № 2. С. 365–367.

B.A. Tikhomirov. Behavior of the position of 694.380 nm water vapor absorption line in dependence on the hydrogen pressure.

In present experiment, in contrast to the data contained in the literature, classical linear dependence of shift of 694.380 nm water vapor absorption line broadened by hydrogen is found.